# 香豆素席夫碱类肼荧光探针的合成及性能研究

孙新峰1,2,朱奕妍2,解晓华1,2,盛筱2,王守信\*2

(1.山东第一医科大学 研究生院,山东 济南 250117;2.济宁医学院 药学院,山东 日照 276826)

摘要:以 3-(4-氨基苯基)-7-二乙氨基香豆素(ADPC)为荧光母体,碳氮双键为识别位点,构建了一种新型的席夫碱类肼 荧光探针 HAPC。在 V(DMSO):V(PBS 缓冲液,pH 7.4)=9:1的体系中,该探针自身荧光微弱,与肼反应后呈现强黄绿色荧光,实现了对肼的 Turn-on 检测。探针对肼具有良好的选择性与抗干扰能力、较大的斯托克斯位移,检出限低至  $1.92\times10^{-7}$  mol/L,检测最适 pH 范围为  $3\sim8$ 。通过 HPLC 与高分辨质谱验证了 HAPC 与肼的反应机制。结果表明 HAPC 与肼经加成-水解-消除反应生成了荧光母体 ADPC 与对羟基苯腙。此外,探针 HAPC 能制作成便携式试纸,已成功用于气态肼的检测。

关键词:荧光探针;肼;香豆素;席夫碱;合成

中图分类号: 0657.3 文献标识码: A 文章编号: 0258-3283(2024)10-0052-06

DOI: 10.13822/j.cnki.hxsj.2024.0170

Synthesis and Properties of Hydrazine Fluorescent Probe Based on Coumarin Schiff Base SUN Xin-feng<sup>1,2</sup>, ZHU Yi-yan<sup>2</sup>, XIE Xiao-hua<sup>1,2</sup>, SHENG Xiao<sup>2</sup>, WANG Shou-xin<sup>\*2</sup> (1.Graduate School, Shandong First Medical University, Jinan 250117, China; 2.School of Pharmaceutical Sciences, Jining Medical University, Rizhao 276826, China)

Abstract: A novel Schiff base hydrazine fluorescent probe HAPC was constructed by using 3-(4-aminophenyl)-7-diethylaminocoumarin (ADPC) as the parent fluorophore and C=N double bond as the recognition site. In the solution of DMSO and PBS buffer (V:V=9:1, pH~7.4), the fluorescence of probe was weak, while it showed strong yellow-green fluorescence after reacting with hydrazine, realizing the fluorescent turn-on detection for hydrazine. Probe HAPC exhibited good selectivity, anti-interference ability, and large Stokes shift for hydrazine, with a detection limit as low as  $1.92\times10^{-7}$  mol/L. The optimal pH range for the detection of hydrazine was  $3\sim8$ . The reaction mechanism of HAPC with hydrazine was verified by HPLC and high-resolution mass spectrometry. The results indicated that HAPC reacted with hydrazine via addition-hydrolysis-elimination to produce the parent fluorophore ADPC and p-hydroxyphenylhydrazone. In addition, the probe HAPC could be fabricated into a portable test paper that has been successfully used for the detection of gaseous hydrazine.

Key words: fluorescent probe; hydrazine; coumarin; Schiff base; synthesis

腊( $N_2H_4$ )由于其强碱性、亲核性和高还原性,具有重要的工业应用价值,被广泛应用于医药、农药、材料、染料等领域 $^{[1:3]}$ 。同时, $N_2H_4$ 的易燃性和爆轰性能使其成为火箭和航天器的高能推进剂 $^{[4]}$ 。但  $N_2H_4$  也是一种高毒性化学物质,其很容易通过吸入和皮肤接触而被人体吸收,会对肝脏、肺、肾脏和人体中枢神经系统造成严重的损害 $^{[5:7]}$ 。另外, $N_2H_4$  的广泛使用会不可避免地导致其释放到环境中,从而带来严重的环境污染问题。美国环境保护署(EPA)已将  $N_2H_4$  列为可能的人类致癌物,并规定其在饮用水中的阈限值为3.  $1 \times 10^{-7}$   $mol/L^{[8]}$ 。因此,开发一种可靠、实时、灵敏的检测微量  $N_2H_4$  的方法至关重要。

与色谱-质谱联用法<sup>[9]</sup>、滴定法<sup>[10]</sup> 和电化学法<sup>[11]</sup>等检测 N<sub>2</sub>H<sub>4</sub> 的传统方法相比,基于荧光探针的荧光检测法因具有操作简便、成本低、灵敏度高、选择性好以及良好的生物相容性等优势,近些

年在环境和生物体内微量  $N_2H_4$  的检测中备受关注  $[^{12,13}]$ 。迄今为止,文献已报道了多种检测  $N_2H_4$  的反应型荧光探针,反应机制主要包括酯或酰亚胺的肼解  $[^{14,15}]$ 、成环与开环反应  $[^{16,17}]$ 、与芳香醛缩合成腙  $[^{18,19}]$ 、与碳碳双键反应成腙  $[^{20,21}]$ 等,但其中许多探针还存在选择性差、检出限高等不足,限制了这些探针的应用,因此开发高性能的新型肼荧光探针仍具有重要的意义。

收稿日期:2024-03-08;网络首发日期:2024-07-22

基金项目:山东省自然科学基金项目(ZR2020MB107);山东省医药卫生科技发展计划项目(202113050717)。

作者简介:孙新峰(1998-),男,山东烟台人,硕士生,主要研究方向为有机合成与药物合成。

通讯作者:王守信, E-mail; shouxinwang@ mail.jnmc.edu.en。引用本文:孙新峰,朱奕妍,解晓华,等.香豆素席夫碱类肼荧光探针的合成及性能研究[J].化学试剂, 2024, 46(10): 52-57。

席夫碱类化合物因合成简便且易与金属配 位,常被用于设计检测各种金属离子的荧光探 针[22-24]。此外,席夫碱结构中的碳氮双键易受到 亲核试剂的进攻,因此基于 N<sub>2</sub>H<sub>4</sub> 较强的亲核性, 席夫碱类化合物还能被用于开发检测 N<sub>2</sub>H<sub>4</sub> 的反 应型荧光探针[25,26],但目前该类探针报道不多, 还具有很大的研究空间。香豆素类化合物因具有 优异的光物理活性、较低的毒性以及易于结构修 饰等优点,被广泛用于荧光探针的设计与开 发[27,28]。本文以 3-(4-氨基苯基)-7-二乙氨基香 豆素(ADPC)为荧光母体,碳氮双键为识别位点, 构建了一种用于检测 N<sub>2</sub>H<sub>4</sub> 的新型香豆素席夫碱 类 Turn-on 型荧光探针 HAPC。该探针对 N<sub>2</sub>H<sub>4</sub> 具 有良好的选择性,较高的灵敏度,检出限低至 1.92×10<sup>-7</sup> mol/L。此外,探针 HAPC 能被制作成 便携式试纸,实现了对气态 N,H, 的定性检测。

#### 1 实验部分

# 1.1 主要仪器与试剂

Bruker Avance NEO 400 MHz 型核磁共振波谱仪(瑞士 Bruker 公司); PHSJ-4A 型 pH 计(上海仪电科学仪器股份有限公司); Agilent 6540 Q-TOF 型质谱仪(美国 Agilent 公司); F-4600 型荧光分光光度计(日本日立公司); UV-2450 型紫外分光光度计、Prominence LC-20A 型高效液相色谱仪(日本岛津公司)。

对羟基苯甲醛、二甲基亚砜(DMSO)、苯胺、硫脲、半胱氨酸(Cys)、高半胱氨酸(Hey)、谷胱甘肽(GSH)(分析纯,上海萨恩化学技术有限公司);水合肼、尿素、氨水、羟胺、乙酸(分析纯,天津希恩思生化科技有限公司);各种金属盐(分析纯,上海麦克林生化科技股份有限公司);所用其他溶剂均为分析纯;荧光母体 ADPC 参照文献[29]报道的方法制得;实验用水为二次蒸馏水。

# 1.2 实验方法

#### 1.2.1 探针 HAPC 的合成

$$\begin{array}{c} \text{OH} \\ \text{N} \\ \text{OH} \end{array} \begin{array}{c} \text{CHO} \\ \text{OH} \\ \text{OH} \end{array} \begin{array}{c} \text{CH_1COOH} \\ \text{C_2H_1OH, $\square$is.} \\ \text{N} \end{array} \begin{array}{c} \text{OH} \\ \text{OH} \end{array}$$

图 1 探针 HAPC 的合成

Fig.1 Synthesis of probe HAPC

将 0.16 g (0.51 mmol) 荧光母体 ADPC、0.075 g (0.61 mmol)4-羟基苯甲醛以及 15 mL 乙

醇置于50 mL圆底烧瓶中,加入2滴醋酸,油浴加 热90℃反应,6h后反应完全。冷却后抽滤,用乙 醇洗涤,室温干燥后得0.17g橙色固体,收率为  $61\%_{\circ}^{-1}$ HNMR(DMSO- $d_{6}$ , 400 MHz),  $\delta$ : 10. 13 (s, 1H); 8.51(s,1H); 8.09(s,1H); 7.79(d,2H,J= 5. 8 Hz); 7. 75 (d, 2H, J = 5.7 Hz); 7. 51 (d, 1H, J = 6.0 Hz); 7. 26 (d, 2H, J = 5.6 Hz); 6. 89 (d, 2H, J = 5.7 Hz); 6.73 (dd, 1H, J = 1.6, 5.9 Hz); 6. 56 (d, 1H, J = 1.5 Hz); 3. 44 (q, 4H, J = 4.7Hz); 1. 13 (t, 6H, J = 4.6 Hz)  $^{-13}$  CNMR (DMSO $d_6$ , 100 MHz),  $\delta$ : 160. 66, 160. 49, 159. 83, 155. 68, 150. 98, 150. 35, 140. 52, 132. 67, 130. 70, 129. 57, 128. 68, 127. 51, 120. 69, 118. 36, 115. 64, 109. 13, 108. 50, 96. 09, 44. 07, 12. 32<sub>o</sub> HRMS (ESI),  $C_{26}H_{25}N_2O_3[M+H]^+$ , 实测值(计算值), m/z: 413. 185 6(413. 186 0)<sub>o</sub>

# 1.2.2 光谱测试方法

探针 HAPC (10 mmol/L) 用 DMSO 配制,  $N_2H_4$  和其他分析物 (10 mmol/L) 用二次蒸馏水配制,备用。在光谱测量中,移取 3  $\mu$ L HAPC 溶液置于比色皿中,并加入一定浓度的  $N_2H_4$  或其他分析物,用 V(DMSO):V(PBS 缓冲液,pH 7.4) = 9:1的混合溶液稀释,定容至 3 mL,混匀室温放置 40 min 后测试其紫外吸收与荧光发射光谱。以 410 nm 为激发波长,记录溶液的荧光光谱,狭缝宽度为 5 nm/2.5 nm,波长采集范围为 450~650 nm。

#### 1.2.3 HPLC 的测试条件

色谱柱为 Diamonsil C18(2)柱(150 mm×4.6 mm×5  $\mu$ m)。流动相为甲醇与水的混合溶液(体积比为 85:15),流速为 1 mL/min,检测波长为 410 nm。探针 HAPC 和荧光母体 ADPC 的浓度均为 10  $\mu$ mol/L,进样量为 10  $\mu$ L。

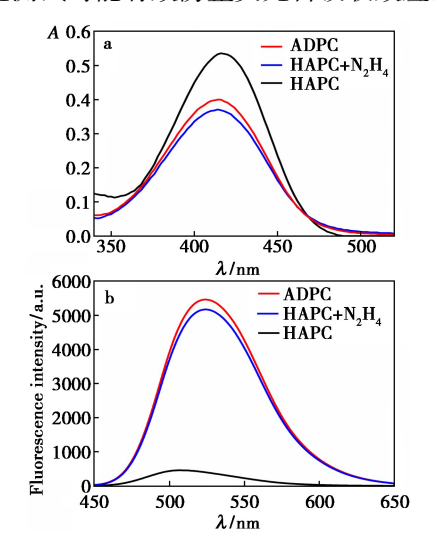
#### 2 结果与讨论

# 2.1 探针 HAPC 的光谱响应

为了考察探针 HAPC 对  $N_2H_4$  的光谱响应,在 V(DMSO):V(PBS 缓冲液,pH 7.4)=9:1的溶液中,测定了探针 HAPC (10  $\mu mol/L$ )与  $N_2H_4$  (200  $\mu mol/L$ ,是指在体系中的终浓度,下同)反应前后的紫外吸收和荧光发射光谱。

在紫外吸收谱图中(图 2a),探针 HAPC 在 410 nm 处有强的紫外吸收峰。当加入  $N_2H_4$  后,其在 410 nm 处的紫外吸收明显减弱,可能是由于

探针与  $N_2H_4$  反应后破坏了探针分子内由 C=N 形成的大共轭体系所致。探针与  $N_2H_4$  反应后的紫外吸收峰强度与荧光母体  $10~\mu$ mol/L APDC 基本一致。由图  $2b~\eta$ 知,在 410~nm 激发波长下,探针 HAPC 在  $450\sim650~nm$  范围内荧光强度微弱,这是由于探针存在分子内 C=N 顺反异构化的非辐射跃迁,造成其荧光淬灭 $[^{30]}$ ;与  $N_2H_4$  反应后,由于探针中的 C=N 被破坏,其在 524~nm 处荧光强度显著增强,测试体系也由微弱荧光变为强黄绿色荧光。HAPC 与  $N_2H_4$  反应后的荧光发射光谱与 APDC 也基本吻合。上述实验结果表明探针HAPC 可用于  $N_2H_4$  的荧光检测。此外,探针HAPC 具有较大的斯托克斯位移(114~nm),使其在荧光测试时能有效防止荧光自吸收效应。

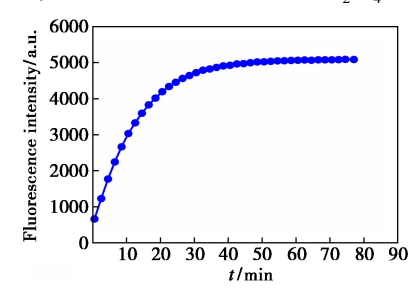


**图 2** HAPC、HAPC 加 N<sub>2</sub>H<sub>4</sub> 以及 ADPC 的 紫外吸收光谱(a) 和荧光发射光谱(b)

Fig.2 UV absorption (a) and fluorescence emission (b) spectra of HAPC, HAPC+N<sub>2</sub>H<sub>4</sub>, and ADPC

# 2.2 反应时间的影响

随后,考察了探针 HAPC 与 N,H, 的最佳反



**图 3** 探针 HAPC 在加 N<sub>2</sub>H<sub>4</sub> 后荧光强度 随反应时间的变化

Fig.3 Fluorescence intensities of probe HAPC in the presence of N<sub>2</sub>H<sub>4</sub> at different times

应时间。如图 3 所示,在 V(DMSO):V(PBS 缓冲液,pH 7.4) = 9:1 的体系中,加入  $N_2H_4(200 \mu mol/L)$ 后,HAPC(10  $\mu mol/L$ )的荧光强度在20 min 内随反应时间增加迅速增大,随后增速减慢并在40 min 后基本保持稳定。由此可知,HAPC与  $N_2H_4$ 的最佳反应时间为40 min。

#### 2.3 pH 的影响

pH 值是影响荧光探针实际应用的一个重要 因素,因此考察了不同 pH 对探针在 524 nm 处荧光强度影响。如图 4 所示,在 V(DMSO):V(PBS 缓冲液)=9:1的体系中,当不加  $N_2H_4$  时,探针 HAPC 的荧光强度在 pH  $3\sim12$  之间基本不变,表明探针自身在酸性或者碱性测试体系中都较为稳定。在  $10~\mu mol/L$  的探针溶液中加入  $200~\mu mol/L$   $N_2H_4$  后,探针的荧光强度在 pH  $3\sim8$  的范围内保持稳定;在 pH>8 后,荧光强度随 pH 增大逐渐减弱。以上结果表明,探针 HAPC 更适合于在酸性和中性条件下检测  $N_2H_4$ 。本文选择 pH 7.4 的溶液作为测试体系。

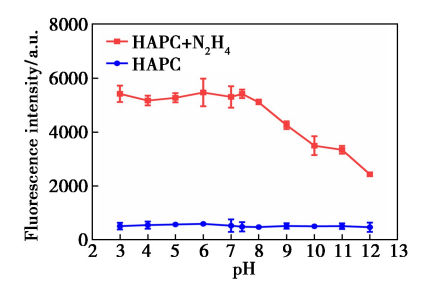


Fig.4 Effect of pH on fluorescence intensity of probe HAPC before and after adding N<sub>2</sub>H<sub>4</sub>

#### 2.4 探针 HAPC 的选择性和抗干扰性实验

为了评估探针 HAPC 对  $N_2H_4$  的选择性,在 V(DMSO):V(PBS 缓冲液,pH 7. 4) = 1:9的体系中,分别测试了  $CH_3COO^-$ 、 $I^-$ 、 $H_2PO_4^-$ 、 $F^-$ 、 $N_3^-$ 、 $CI^-$ 、  $HSO_3^-$ 、 $Br^-$ 、 $SO_4^{2-}$ 、 $K^+$ 、 $AI^{3+}$ 、 $Ca^{2+}$ 、 $Na^+$ 、 $Mg^{2+}$ 、 $Fe^{2+}$ 、  $Zn^{2+}$ 、Hey、GSH、Cys、尿素、氨水、硫脲、苯胺、羟胺对 HAPC 的荧光响应。由图 5 可知,在 10  $\mu$ mol/L的 HAPC 溶液中,分别加入 200  $\mu$ mol/L的上述各种分析物或  $N_2H_4$  后,其他分析物并未对探针的荧光强度产生明显的影响,而  $N_2H_4$  则会使探针在 524 nm 处的荧光强度显著增强。以上结果表明,探针 HAPC 对  $N_2H_4$  具有良好的选择性,可用于  $N_2H_4$  的识别与检测。

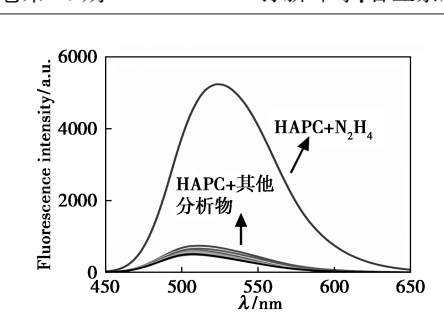
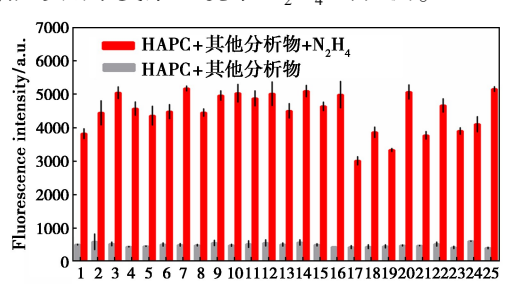


图 5 探针 HAPC 中加入  $N_2H_4$  或其他分析物的 荧光光谱图

Fig.5 Fluorescence spectra of probe HAPC after adding N<sub>2</sub>H<sub>4</sub> or other analytes

在 V(DMSO):V(PBS 缓冲液,pH 7.4)=9:1 的溶液中,进一步考察了探针 HAPC 的抗干扰能力。在 HAPC(10  $\mu$ mol/L)溶液中,先分别加入上述各种分析物(200  $\mu$ mol/L),再加入  $N_2H_4$ (200  $\mu$ mol/L),测试反应体系的荧光光谱。如图 6 所示,绝大多数干扰物对探针荧光强度的影响不大;只有个别含氨基的分析物如 Hcy、Cys 会使探针的荧光强度略有下降,但其荧光强度仍是不加  $N_2H_4$ 时的 7 倍以上,并不影响探针对  $N_2H_4$ 的选择性识别与检测。由此可知, HAPC 的抗干扰能力较强,能够用于复杂环境中  $N_2H_4$  的检测。



1~25 分别代表: CH<sub>3</sub>COO<sup>-</sup>、I<sup>-</sup>、H<sub>2</sub>PO<sup>-</sup>、F<sup>-</sup>、N<sup>-</sup><sub>3</sub>、Cl<sup>-</sup>、HSO<sup>-</sup><sub>3</sub>、Br<sup>-</sup>、SO<sup>2-</sup>、K<sup>+</sup>、Al<sup>3+</sup>、Ca<sup>2+</sup>、Na<sup>+</sup>、Mg<sup>2+</sup>、Fe<sup>2+</sup>、Zn<sup>2+</sup>、Hcy、GSH、Cys、尿素、氨水、硫脲、苯胺、羟胺和空白

# 图 6 其他分析物与 $N_2H_4$ 共存时对探针 HAPC 荧光强度的影响

**Fig.6** Effect of the coexistence of other analytes with  $N_2H_4$  on the fluorescence intensity of the probe HAPC

#### 2.5 探针 HAPC 的荧光滴定实验

在 V(DMSO):V(PBS 缓冲液, pH 7.4) = 9:1 的溶液中, 记录了 10 μmol/L 探针与不同浓度 (0~400 μmol/L) 的  $N_2H_4$  反应后的荧光光谱。如图 7 所示, HAPC 在 524 nm 处的荧光强度随着  $N_2H_4$  浓度的增大而逐渐增强, 并在  $N_2H_4$  的浓度 大于 200 μmol/L 后趋于稳定。由图 7b 中插图可知, HAPC 的 荧光强度 与  $N_2H_4$  浓度在 1~

80  $\mu$ mol/L 范围内线性关系良好,回归方程为 y = 47. 276x+815. 49,  $R^2$  = 0. 990 6。 HAPC 的检出限 (LOD)通过公式 LOD=3 $\sigma$ /K(其中, $\sigma$  为空白样测量值的标准偏差,K 为线性拟合曲线的斜率)计算得出,结果为 1. 92×10<sup>-7</sup> mol/L。以上结果表明 HAPC可用于  $N_2H_4$  的定量检测,并具有较高的灵敏度。

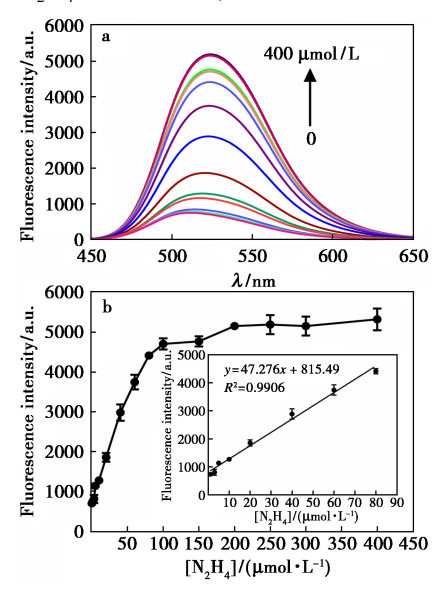


图 7 探针 HAPC 与不同浓度的 N<sub>2</sub>H<sub>4</sub> 反应后的荧光 光谱(a) 及荧光强度变化曲线(b) (插图为 HAPC 的 荧光强度与 N<sub>2</sub>H<sub>4</sub> 浓度之间的线性拟合曲线)

Fig.7 Fluorescence spectra (a) and fluorescence intensity curve (b) of probe HAPC in the presence of  $N_2H_4$  with various concentrations (Inset:Corresponding linear fitting curve between the fluorescence intensity of HAPC with the concentration of  $N_2H_4$ )

# 2.6 探针 HAPC 对 N,H4 的识别机制

由紫外吸收和荧光发射光谱的结果(图 2)可初步断定,探针 HAPC 与 N<sub>2</sub>H<sub>4</sub> 反应后转化为荧光母体 ADPC。结合文献[26]报道的机制,推测探针 HAPC 与 N<sub>2</sub>H<sub>4</sub> 可能的反应机制如图 8 所示。N<sub>2</sub>H<sub>4</sub> 作为亲核试剂进攻 HAPC 中的碳氮双键,先发生加成反应生成中间产物 I, I 随后发生水解与消除反应,释放出荧光母体 ADPC 并生成对羟基苯腙,反应体系也由最初 HAPC 的微弱荧光变为 ADPC 的强黄绿色荧光。为进一步证实HAPC 对 N<sub>2</sub>H<sub>4</sub> 的识别机制,对二者反应后的溶液进行了 HPLC(图 9)和高分辨质谱(图 10)分析。如图 9 所示,探针 HAPC 自身的色谱峰出现在保留时间为 7.45 min 时;当 HAPC 与 5 倍浓度的N<sub>2</sub>H<sub>4</sub> 反应后,在 4.08 min 处出现一个新峰,与荧光母体 ADPC 的出峰时间吻合:当 HAPC 与 20 倍

浓度的  $N_2H_4$  反应后,得到的色谱图与 ADPC 一致,说明此时 HAPC 已完全转化为 ADPC。由图 10 可知,探针 HAPC 与 20 倍浓度的  $N_2H_4$  反应后,在 m/z 为 137. 071 5 与 309. 159 6 处出现了两

个分子离子峰,分别与对羟基苯腙(137.070 9)和 荧光母体 ADPC(309.159 8)质子化的相对分子质量相对应。以上结果证明,探针 HAPC 与  $N_2H_4$  反应后生成了荧光母体 ADPC 与对羟基苯腙。

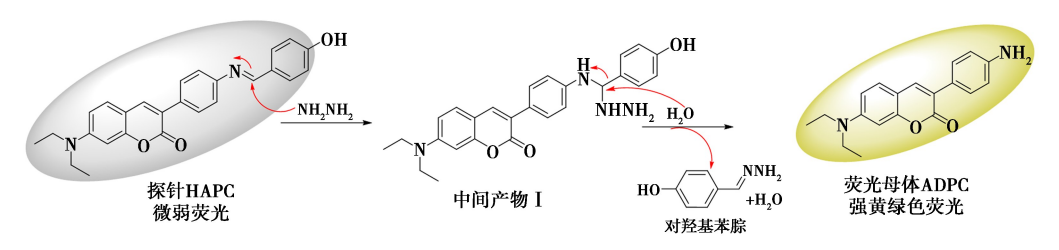
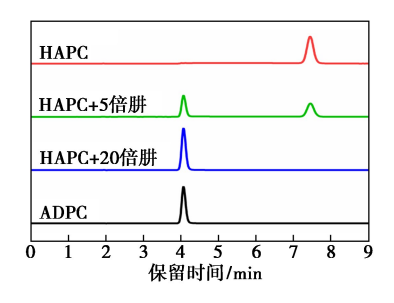


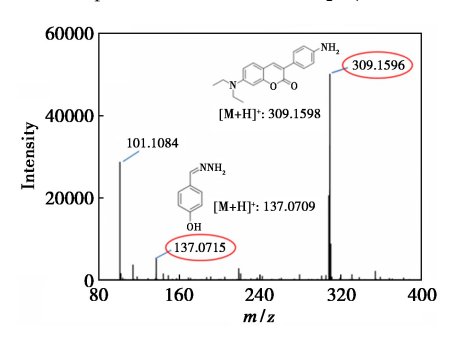
图 8 探针 HAPC 对 N<sub>2</sub>H<sub>4</sub> 可能的识别机制

Fig.8 Possible recognition mechanism of probe HAPC for N<sub>2</sub>H<sub>4</sub>



**图 9** ADPC、HAPC 及 HAPC 与 N<sub>2</sub>H<sub>4</sub> 反应产物的 HPLC 谱图

Fig.9 HPLC spectra of ADPC, HAPC and the reaction product of HAPC and  $\rm N_2H_4$ 



**图 10** 探针 HAPC 与 N<sub>2</sub>H<sub>4</sub> 反应后溶液的 高分辨质谱

Fig.10 High resolution mass spectrometry of probe HAPC after reaction with  $N_2H_4$ 

# 2.7 探针 HAPC 对气态 N<sub>2</sub>H<sub>4</sub> 的检测

由于  $N_2H_4$  易挥发且气态  $N_2H_4$  会严重危害人体健康,因此考察了探针对气态  $N_2H_4$  的检测性能。将试纸条置于探针 HAPC(100  $\mu$ mol/L)的甲醇溶液中浸泡 10 min 后取出并自然风干。将负载探针的试纸条分别置于装有 0.1%、1%、5%、10%、15%、20%  $N_2H_4$  溶液的试剂瓶的顶部,密封放置 30 min 后取出,在 365 nm 紫外灯下观察其颜色变化。如图 11 所示,没有  $N_2H_4$  存在时,试

纸为浅绿色;随着  $N_2H_4$  的浓度升高,试纸颜色变化明显,逐渐由深绿色变为黄绿色。以上结果表明探针 HAPC 可以制成便携式试纸用于气态  $N_2H_4$  的检测。

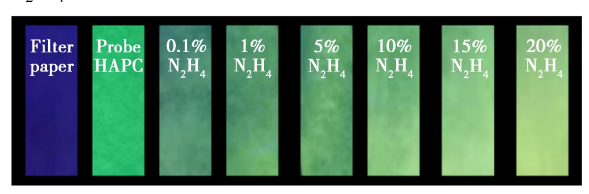


图 11 负载探针 HAPC 的试纸对气态 N,H, 的检测

 $\label{eq:Fig.11} \textbf{Fig.11} \quad \text{Detection of gaseous $N_2H_4$ by test paper loaded}$  with probe HAPC

#### 3 结论

本文设计合成了一种新型的香豆素席夫碱类 Turn-on 型肼荧光探针 HAPC, 其结构经核磁氢谱、核磁碳谱和高分辨质谱确证。在 V(DMSO): V(PBS 缓冲液, pH 7.4) = 9:1的测试体系中,探针与  $N_2H_4$  反应前后,测试体系由微弱荧光变为强黄绿色荧光。在  $1\sim80~\mu mol/L$  的范围内,探针荧光强度与  $N_2H_4$  浓度线性关系良好 ( $R^2=0.990~6$ ),检出限为  $1.92\times10^{-7}~mol/L$ 。该探针在 pH  $3\sim8$  内对  $N_2H_4$  荧光响应稳定,并具有良好的选择性和抗干扰能力。通过对紫外吸收光谱、荧光发射光谱、HPLC 以及高分辨质谱的分析,证实了探针对  $N_2H_4$  的识别机制。此外,探针 HAPC 还能被制作成便携式试纸用于气态  $N_2H_4$  的检测,具有较好的应用前景。

#### 参考文献:

[1] RAGNARSSON U.Synthetic methodology for alkyl substituted hydrazines [J]. Chem. Soc. Rev., 2001, 30(4); 205-213.

- [2] NOBARI N, BEHBOUDNIA M, MALEKI R. Palladium-free electroless deposition of pure copper film on glass substrate using hydrazine as reducing agent[J]. Appl. Surf. Sci., 2016, 385;9-17.
- [3] DASCALU A, GHINET A, LIPKA E, et al. Design, synthesis and evaluation of hydrazine and acyl hydrazone derivatives of 5-pyrrolidin-2-one as antifungal agents [J]. Bioorg. Med. Chem. Lett., 2020, 30(13):127-220.
- [4] SEROV A, KWAK C.Direct hydrazine fuel cells: A review [J]. Appl. Catal. B-Environ., 2010, 98(1):1-9.
- [5] NGUYEN H N, CHENOWETH J A, BEBARTA V S, et al. The toxicity, pathophysiology, and treatment of acute hydrazine propellant exposure: A systematic review [J]. *Mil.Med.*, 2021, **186**(3/4):319-326.
- [6] GARROD S, BOLLARD M E, NICHOLLS A W, et al. Integrated metabonomic analysis of the multiorgan effects of hydrazine toxicity in the rat[J]. Chem. Res. Toxicol., 2005, 18(2):115-122.
- [7] TAFAZOLI S, MASHREGI M, O'BRIEN P J.Role of hydrazine in isoniazid-induced hepatotoxicity in a hepatocyte inflammation model [J]. *Toxicol. Appl. Pharmacol.*, 2008, 229(1):94-101.
- [8] YI Q Y, HE J H, FU X X, et al. Carbazole-based chemosensor for highly sensitive and selective bioimaging identification of hydrazine in multiple model systems via ratiometric and colorimetric [J]. Dyes Pigments, 2021, 196: 109 816.
- [9] OH J A, SHIN H S.Simple and sensitive determination of hydrazine in drinking water by ultra-high-performance liquid chromatographytandem mass spectrometry after derivatization with naphthalene-2, 3-dialdehyde [J]. *J. Chromatogr.A*, 2015, **1** 395:73-78.
- [ 10] SAHOO P, MALATHI N, ANANTHANARAYANAN R, et al. A novel approach for high precision rapid potentiometric titrations: Application to hydrazine assay[J]. Rev. Sci. Instrum., 2011, 82(11):114-102.
- [11] SHARMA S, GANESHAN S K, PATTNAIK P K, et al. Laser induced flexible graphene electrodes for electrochemical sensing of hydrazine [J]. *Mater. Lett.*, 2020, 262:127-150.
- [ 12 ] YAN L Q, ZHANG S Q, XIE Y, et al. Recent progress in the development of fluorescent probes for the detection of hydrazine (N<sub>2</sub>H<sub>4</sub>) [J]. Crit. Rev. Anal. Chem., 2022, 52(1);210-229.
- [13] WANG EF, MAHL, LUJX, et al. Recent progress in the fluorescent probes for hydrazine detection [J]. *Tetrahedron*, 2022, **124**:132989.
- [15] YAN S C, GUO H D, TAN J J, et al. Two novel spirobifluorene-based two-photon fluorescent probes for the detection of hydrazine in solution and living cells [J]. *Talanta*, 2020, **218**:121-210.
- [16]宋健,杨晓琴,张颖君,等.基于咖啡酸的水合肼荧光 探针的合成及应用[J].精细化工,2023,40(1):50-

55.

- [17] SHI X R, YIN C X, ZHANG Y B, et al. A novel ratiometric and colorimetric fluorescent probe for hydrazine based on ring-opening reaction and its applications [J]. Sensor. Actuat. B, 2019, 285: 368-374.
- [18] HUANG X Z, ZHOU Z Q, XIAO X H, et al. Aldehyde spiropyran fluorescent probe for rapid determination of hydrazine in environmental water [J]. *Luminescence*, 2022, 37(11):1891-1898.
- [ 19 ] ZHANG F, LI D, LIANG X Z, et al. Forming luminescent oligomer nanoparticles via condensation polymerization: A strategy for real-time visualized detection of hydrazine in solution and gas phase [ J ]. Dyes Pigments, 2021, 185: 108-931.
- [20] LI D P, WEI L C, GUO X K, et al. A thiomorpholine substituted malonyl-coumarin dye for discriminative detection of hydrazine and strong acidity [J]. RSC Adv., 2023, 13:35 811-35 815.
- [21] HOU J T, WANG B Y, WANG S, et al. Detection of hydrazine *via* a highly selective fluorescent probe: A case study on the reactivity of cyano-substituted C=C bond [J]. *Dyes Pigments*, 2020, **178**:108 366.
- [22] KUMAR R, SINGH B, GAHLYAN P, et al. Recent developments on the colorimetric and fluorometric detection of 3d block metal ions using Schiff base probes [J]. J.Mol. Struct., 2023, 1 289:135-859.
- [23] KUMARI N, SINGH S, BARAL M, et al. Schiff bases; A versatile fluorescence probe in sensing cations [J]. *J. Fluoresc.*, 2023, 33(3):859-893.
- [24] 聂梅,汤静洁,黎鹏,等.席夫碱荧光探针的合成及其对三价金属的识别[J].化学试剂,2023,45(5):136-141.
- [ 25 ] ZHU J B , LI X M , ZHANG S Q , et al. Synthesis and optical properties of Schiff base derivatives based on 2-(2-hydroxyphenyl) benzothiazole (HBT) and application in the detection of  $N_2H_4$  [ J ]. Spectrochim. Acta A , 2021 , 257 ;119 801.
- [26] YANG X F, DING Y M, LI Y X, et al. Dual-channel colorimetric fluorescent probe for determination of hydrazine and mercury ion [J]. Spectrochim. Acta A, 2021, 258:119 868.
- [27] TIAN G, ZHANG Z X, LI H D, et al. Design, synthesis and application in analytical chemistry of photo-sensitive probes based on coumarin [J]. Crit. Rev. Anal. Chem., 2021, 51(6):565-581.
- [28] XIE J H, WANG L, SU X Q, et al. Coumarin-based fluorescent probes for bioimaging: Recent applications and developments [J]. Curr. Org. Chem., 2021, 25(18): 2 142-2 154.
- [29] ZHANG B X, GE C P, YAO J, et al. Selective selenol fluorescent probes; Design, synthesis, structural determinants, and biological applications [J]. J. Am. Chem. Soc., 2015, 137(2):757-769.
- [30]李欠.基于 C=N 双键异构化传感机制的荧光探针 [J].化学通报,2019,**82**(6):496-503.